

# О затухании видеоимпульса в нелинейных линиях передачи с идеальным диэлектриком

*А. С. Кюрегян*

Всероссийский Электротехнический институт им. В. И. Ленина, 111250, Москва, Россия

E-mail: [sem1ab@yandex.ru](mailto:sem1ab@yandex.ru)

Затухание видеоимпульса с монотонно нарастающим напряжением  $U_0(t)$  на входе в линию передачи с идеальным диэлектриком можно охарактеризовать «омическим» падением напряжения  $U_\sigma(t)$  вдоль электродов с конечной проводимостью  $\sigma$ . Для вычисления  $U_\sigma(t)$  в коаксиальной и полосковой линиях получены точные аналитические формулы без учета и с учетом сильного скин-эффекта, которые не зависят от дисперсии и степени нелинейности диэлектрика и поэтому пригодны для оценки затухания ударных электромагнитных волн.

Пусть на вход незаряженной коаксиальной линии передачи с идеальным диэлектриком<sup>1</sup> подается монотонно нарастающий видеоимпульс напряжения  $U_0(t)$ . Распространение сигнала при известных [1] условиях описывается системой телеграфных уравнений

$$\frac{\partial U}{\partial z} + L \frac{\partial I}{\partial t} + E_\sigma = 0, \quad (1)$$

$$\frac{\partial I}{\partial z} + \frac{\partial Q}{\partial t} = 0, \quad (2)$$

с начальным и граничным условиями

$$U(0, z) = 0 = I(0, z), \quad U(t, 0) = U_0(t), \quad (3)$$

где  $U = U(t, z)$  и  $Q = Q(t, z)$  - разность потенциалов между электродами и линейная плотность заряда,  $E_\sigma = E_\sigma^+(t, z) - E_\sigma^-(t, z)$ ,  $E_\sigma^\pm(t, z)$  - тангенциальные компоненты напряженности поля на границах между диэлектриком и электродами, обусловленные протеканием вдоль линии тока  $I = I(t, z)$ ,  $L = \frac{\mu_0}{2\pi} \ln \frac{r_e}{r_i}$  - погонная индуктивность,  $\mu_0$  магнитная постоянная,  $r_{e,i}$  - внешний и внутренний радиусы диэлектрической трубки.

Будем считать, что толщина электродов много больше  $2\sqrt{D_\sigma t} \sim \sqrt{t/1 \text{ ns}} \cdot 8 \mu\text{m}$ , а ток  $I(t, z)$  мало изменяется на расстоянии порядка  $2\sqrt{D_\sigma t}$ , где  $D_\sigma = 1/\mu_0 \sigma \sim 160 \text{ cm}^2/\text{s}$  - коэффициент магнитной диффузии,  $\sigma$  - проводимость электродов. В этом случае оправдано приближение сильного планарного скин-эффекта и, используя теорию диффузии магнитного поля в металле (см., например, [2]), нетрудно получить соотношение

$$I(t, z) = \frac{\sqrt{t_\sigma}}{\pi L} \int_{t_z}^t E_\sigma(\vartheta, z) \frac{d\theta}{\sqrt{t-\theta}}, \quad (4)$$

где  $t_\sigma = \frac{\pi}{D_M} \left( \frac{2r_e r_i}{r_e + r_i} \ln \frac{r_e}{r_i} \right)^2$ ,  $t_z = t_f(z)$  - время достижения передним фронтом сигнала плоскости  $z$ . Интегрирование (4) по  $z$  приводит к уравнению Абеля [3]

<sup>1</sup> Мы называем идеальным диэлектриком, проводимость которого равна нулю.

$$\int_0^t U_\sigma(\theta) \frac{d\theta}{\sqrt{t-\theta}} = \frac{\pi L}{\sqrt{t_\sigma}} \int_0^{z_i} I(t, z) dz \equiv \Phi(t) \quad (5)$$

для «омического» падения напряжения  $U_\sigma(t) = \int_0^{z_i} E_\sigma(t, z) dz$  на обоих электродах между входом линии и передним фронтом сигнала  $z_i = z_f(t)$ , дальше которого  $U = 0 = I$ . При монотонно нарастающей функции  $U_0(t)$  напряжение  $U_\sigma(t)$  характеризует затухание видеоимпульса в линии.

Так как  $\Phi(0) = 0$ , то решение (5) имеет вид [3]

$$U_\sigma(t) = \frac{1}{\pi} \int_0^t \frac{d\Phi(\theta)}{d\theta} \frac{d\theta}{\sqrt{t-\theta}}. \quad (6)$$

Из определения  $\Phi(t)$  и уравнения (1) следует, что

$$\frac{d\Phi(t)}{dt} = \frac{\pi}{\sqrt{t_\sigma}} \left[ I(t, z_i) L \frac{dz_i}{dt} - U(t, z_i) + U_0(t) - U_\sigma(t) \right], \quad (7)$$

где  $dz_i/dt$  - скорость распространения фронта видеоимпульса. Во всех реалистичных случаях два первых слагаемых в правой части (7) равны нулю, поэтому равенство (6) является уравнением Абеля второго рода

$$\int_0^t U_\sigma(\theta) \frac{d\theta}{\sqrt{t-\theta}} + \sqrt{t_\sigma} U_\sigma(t) = \int_0^t U_0(\theta) \frac{d\theta}{\sqrt{t-\theta}} \quad (8)$$

для функции  $U_\sigma(t)$ . Его решение имеет вид [3]

$$U_\sigma(t) = F(t) + \frac{\pi}{t_\sigma} \int_0^t F(\theta) \exp\left(\pi \frac{t-\theta}{t_\sigma}\right) d\theta, \quad (9)$$

$$F(t) = \frac{1}{\sqrt{t_\sigma}} \int_0^t U_0(\theta) \frac{d\theta}{\sqrt{t-\theta}} - \frac{1}{t_\sigma} \int_0^t \left[ \int_0^\theta U_0(\tau) \frac{d\tau}{\sqrt{\theta-\tau}} \right] \frac{d\theta}{\sqrt{t-\theta}} \quad (10)$$

В качестве примера рассмотрим случай трапецеидального нарастания напряжения на входе в линию

$$U_0(t) = V \begin{cases} t/t_0 & \text{при } t < t_0 \\ 1 & \text{при } t > t_0 \end{cases}, \quad (11)$$

для которого получается

$$F(t) = \frac{V}{t_0} \left\{ \frac{4}{3\sqrt{t_\sigma}} \left[ t^{3/2} - (t-t_0)^{3/2} H(t-t_0) \right] - \frac{\pi}{2t_\sigma} \left[ t^2 - (t-t_0)^2 H(t-t_0) \right] \right\}, \quad (12)$$

где  $H(t)$  - ступенчатая функция Хевисайда. Зависимости  $F(t)$  и  $U_\sigma(t)$  для этого случая изображены на Рис. 1. Видно, что второе слагаемое в правой части (9) пренебрежимо мало в актуальном диапазоне значений  $U_\sigma < 0.3V$ , поэтому для расчета  $U_\sigma(t)$  можно использовать простую формулу  $U_\sigma(t) \approx F(t)$ . В простейшем случае ступенчатого сигнала или при  $t_0/t \rightarrow 0$

$$F(t) = V \left( 2\sqrt{\frac{t}{t_\sigma}} - \pi \frac{t}{t_\sigma} \right) \quad (13)$$

и для  $U_\sigma(t)$  получается формула

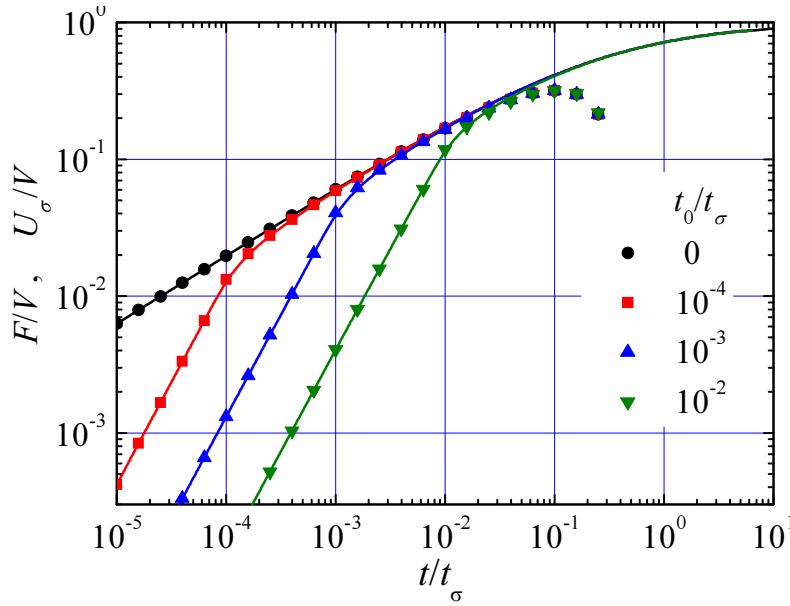


Рис. 1. Зависимости  $U_\sigma(t)$  (линии) и  $F(t)$  (символы), рассчитанные по формулам (9), (11) и (12) для четырех значений отношения  $t_0/t_\sigma$

$$U_\sigma(t) = V \left[ 1 - \exp\left(\pi \frac{t}{t_\sigma}\right) \operatorname{erfc} \sqrt{\pi \frac{t}{t_\sigma}} \right]_{t \ll t_\sigma} \approx 2V \sqrt{\frac{t}{t_\sigma}}, \quad (14)$$

где  $\operatorname{erfc}(x)$  - дополнительная функция ошибок. Формулы (9)-(14) пригодны и для полосковой линии передачи, ширина которой много больше расстояния  $d$  между электродами, однако в этом случае следует положить  $t_\sigma = \pi d^2 / D_M$ .

Если толщина электродов много меньше  $2\sqrt{D_\sigma t}$ , то можно пренебречь скин-эффектом и переписать уравнение (1) в виде

$$\frac{\partial U}{\partial z} + t_R \frac{\partial E_\sigma}{\partial t} + E_\sigma = 0, \quad (15)$$

где  $t_R = L/R$  и  $R$  - сумма погонных сопротивлений электродов. Легко показать, что в этом случае

$$U_\sigma(t) = \int_0^t U_\sigma(\theta) \exp\left(\frac{\theta-t}{t_R}\right) \frac{d\theta}{t_R}, \quad (16)$$

и для трапецеидального входного сигнала при  $t > t_0$

$$U_\sigma(t) = V \left\{ 1 - \frac{t_R}{t_0} \left[ \exp\left(\frac{t_0}{t_R}\right) - 1 \right] \exp\left(-\frac{t}{t_R}\right) \right\} \quad (17)$$

Полученные формулы позволяют вычислить время распространения сигнала  $t_\delta$ , за которое отношение  $U_\sigma/V$  достигнет заданной допустимой величины  $\delta$ . Примеры зависимостей  $t_\delta$  от  $t_0$  для трапецеидального входного сигнала приведены на Рис. 2. При  $t_0 \ll t_\delta \ll t_{\sigma,R}$  из (14) и (17) следует, что  $t_\delta \approx t_\sigma \delta^2 / 4$  и  $t_\delta \approx t_R \delta$  соответственно.

Следует отметить, что обычно [2,4,5] затухание ступенчатого видеоимпульса характеризуется величиной  $\Delta = 1 - U_f(t)/V$ , где  $U_f(t) = U(t, z_f)$  - скачек напряжения на фронте. Однако для вычисления  $\Delta$  нужно иметь полное решение задачи Коши (1)-(3). Насколько нам известно, точное решение было получено только для линейной линии передачи без учета скин-эффекта [4,6]. Из него, как нетрудно показать следует, что

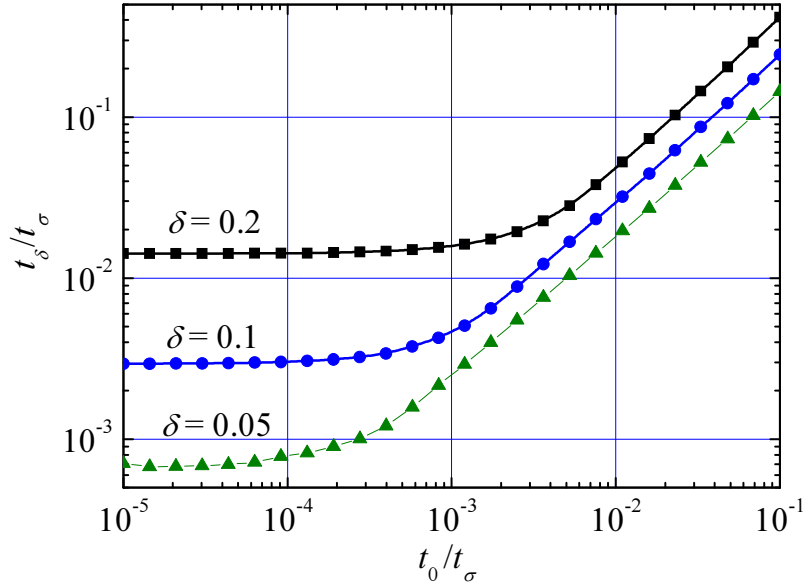


Рис. 2. Зависимости времен  $t_\delta$  достижения отношением  $U_\sigma/V$  величин  $\delta$  от длительности фронта  $t_0$  импульса на входе в линию, рассчитанные по формулам (9), (11) и (12).

$$\Delta(t) = 1 - \exp(-t/2t_R). \quad (18)$$

тогда как

$$\delta(t) = 1 - \exp(-t/t_R). \quad (19)$$

Эта последняя формула, разумеется, получается и из (17) в пределе  $t_0 \rightarrow 0^2$ . Таким образом напряжение на фронте  $U_f$  уменьшается со временем в два раза медленнее, чем возрастает «омическое» падение напряжения  $U_\sigma$ . Причина этого очевидна: рост  $U_\sigma$  приводит к уменьшению со временем тока  $I(t, z)$  вдоль линии, так что второе слагаемое в (1) частично (в этом простейшем случае - ровно наполовину) компенсирует «омическое» поле  $E_\sigma$  и замедляет уменьшение напряжения  $U$  с ростом  $z$ . С учетом сильного скин-эффекта было получено приближенное решение [5,7], верное только при  $t \ll t_\sigma$ , когда

$$\Delta(t) \approx \frac{1}{2} \sqrt{\frac{t}{t_\sigma}}, \quad (20)$$

то есть в этом случае  $\Delta$  в 4 раза меньше  $\delta$  (см. (14)).

На первый взгляд, предложенный метод оценки затухания видеосигнала менее нагляден, чем обычный. Однако у него есть два существенных преимущества. Во-первых, величина  $\delta$ , равная в первом приближении относительной потере мощности, сохраняет свой ясный смысл при любом соотношении между  $t$  и характерным временем  $t_0$  нарастания напряжения на входе в линию, а не только при  $t_0 \rightarrow 0$ . Во-вторых, при вычислении  $\delta$  уравнение (2) не использовалось, поэтому полученные выше точные результаты справедливы и при сложной взаимосвязи между напряжением  $U$  и плотностью заряда  $Q$ , когда необходимое для расчета  $\Delta$  полное аналитическое решение задачи Коши (1)-(3) невозможно даже без учета скин-эффекта. В частности, это позволяет дать оценку величины затухания ударных электромагнитных волн в нелинейных линиях передачи [8].

Автор благодарен А. В. Горбатюку за обсуждение результатов. Работа выполнена при поддержке РФФИ (грант 16-08-01292).

<sup>2</sup> В этом пределе два первых слагаемых в правой части (7) отличны от нуля, но их сумма равна нулю, так как  $dz_i/dt = 1/\sqrt{LC}$  и  $U(t, z_i)/I(t, z_i) = \sqrt{L/C}$ . Поэтому уравнение (8) и его решение (9) справедливо и для ступенчатого входного сигнала.

## Литература

1. Вайнштейн Л. А. Электромагнитные волны. М.: Радио и связь, 1988. С. 100-115.
2. Кнопфель Г. Сверхсильные импульсные магнитные поля. М.: Мир, 1972. С. 68. [Knoepfel H. Pulsed high magnetic fields. Amsterdam: North-Holland Publishing Company, 1970].
3. Полянин А. Д., Манжиров А. В. Справочник по интегральным уравнениям: точные решения. М.: Факториал, 1998. С. 20, 120. [Polyanin A. D., Manzhirov A. V. Handbook of integral equations. CRC Press, 2008].
4. Бессонов Л. А. Теоретические основы электротехники. Электрические цепи. М.: Высшая школа, 1996. С. 399. [Bessonov L. A. Theoretical bases of electrical engineering. Moscow, USSR: High school, 1996, p.399].
5. Smith P. W. Transient Electronics. Pulsed Circuit Technology. Chichester: John Wiley & Sons Ltd., 2002. pp. 237-266.
6. Лаврентьев М. А., Шабат Б. В. Методы теории функций комплексного переменного. М.: Наука, 1987. С. 534.
7. Wigington R. L., Nahman N. S. // Proc. IRE. 1957. V. **45**(2), P. 166-174.
8. Кюрегян А. С. ФТП. 2018. Т. 52. в печати